

УДК 544.654.2:546.74

А.А. Черник, зав. кафедрой, канд. хим. наук;
И.В. Антихович, мл. науч. сотр.;
И.М. Жарский, проф., канд. хим. наук
(БГТУ, г. Минск)

ЭЛЕКТРОХИМИЧЕСКОЕ ОСАЖДЕНИЕ НИКЕЛЕВЫХ И КОМПОЗИЦИОННЫХ НИКЕЛЕВЫХ ПОКРЫТИЙ ИЗ ТАРТРАТНЫХ ЭЛЕКТРОЛИТОВ

Одним из перспективных направлений современной гальванотехники является создание композиционных электролитических покрытий (КЭП). КЭП получают при совместном осаждении металла с частицами различного размера и вида [1-3], что позволяет получать покрытия с новыми свойствами: увеличить микротвердость и износостойкость, уменьшить пористость. Данные по влиянию алмаза различных модификаций в КЭП на его свойства широко представлены в литературе [1]. Интерес представляет изучение механизма соосаждения металла со второй фазой.

Цель работы – изучить кинетические особенности разряда и ионизации никеля в тартратном электролите никелирования без и в присутствии ультрадисперсных алмазов.

Концентрация Ni^{2+} в электролитах варьировалась в диапазоне 0,25–1 моль/дм³, сегнетовой соли 0,1–0,3 моль/дм³. Необходимое значение pH электролитов устанавливали концентрированной H_2SO_4 или NaOH.

Электрохимические исследования осуществляли с помощью потенциостата IPC-Pro-M в стандартной трехэлектродной ячейке ЯСЭ-2. Электрод сравнения – насыщенный хлорсеребряный. Значения потенциалов пересчитывали в шкалу стандартного водородного электрода. Температура поддерживалась с помощью жидкостного термостата 5ОК-20/0.05-03 с точностью поддержания температуры $\pm 0,5$ °C. Анодами служила никелевая лента толщиной 1,5 мм из металлургического никеля марки H0. Величину выхода по току определяли гравиметрическим методом. В качестве инертной фазы использовали 5 % раствор УДА (НПЗАО «СИНТА», РБ). Для поддержания частиц во взвешенном состоянии при введении очередной порции частиц УДА перед каждым электролизом осуществляли ультразвуковую обработку раствора.

При низком содержании тартрат-иона (0,1–0,2 моль/дм³) на катодных поляризационных кривых наблюдаются перегибы, что вероятно связано с подщелачиванием прикатодного слоя и вследствие этого изменением природы разряжающихся частиц. Увеличение температу-

ры с 30 до 70 °С на поляризационных кривых наблюдаются перегибы при более высоких плотностях тока, область перемещается соответственно с 0,04 А/см² до 0,07 А/см², что расширяет область рабочих плотностей тока. При плотности тока 0,05 А/см² наблюдается уменьшение поляризации на 0,5 В. Авторы [4] отмечают высокую катодную поляризацию тартратных электролитов по отношению к прочим гомологам, которую связывают с образованием более прочных комплексов никеля. При нагреве раствора до 60 °С сегнетова соль разлагается.

Увеличение концентрации тартрат-иона с 0,1 до 0,2 моль/дм³ при концентрации никеля 1,35 моль/дм³ практически не меняет ход поляризационной кривой, при концентрации 0,7 моль/дм³ наблюдается сдвиг в катодную область на 0,3 В при 0,05 А/см², что свидетельствует об образовании комплексов в данном электролите.

Следует отметить, что подбирая оптимальный состав и используя в качестве буферной и комплексообразующей добавки сегнетову соль, а не винную кислоту удалось найти соотношения, позволяющие осаждать никелевые покрытия с выходом по току до 85–100 %. В то время как при использовании винной кислоты и ее гомоголов [4] ВТ_к не превышал 60 %.

Повышение значения pH раствора также способствует увеличению выхода по току до 98 % (Ni^{2+} 1 моль/дм³, тартрат-ион 0,3 моль/дм³). Однако при таком значении pH раствор нестабилен, вероятно вследствие невысокой растворимости сегнетовой соли (63 г на 100 г воды). Повышение концентрации тартрат-иона уменьшает катодный выход по току на 10–15 % при концентрации никеля 0,7 моль/дм³ и на 20–25 % при концентрации 1 моль/дм³. Повышение температуры не оказывает значительного влияния ни на выход по току, ни на качество покрытия. Наиболее оптимальные составы тартратных электролитов: 0,7 моль/дм³ Ni^{2+} 0,2 моль/дм³ тартрат-ион и 1 моль/дм³ Ni^{2+} 0,1 моль/дм³ тартрат-ион. Электролит с концентрацией никеля 0,25 моль/дм³ использовать нецелесообразно вследствие низкого выхода по току (до 50 %).

Из всех электролитов осаждаются светло-серые покрытия с небольшим блеском. Понижение выхода по току, как правило, не сказывается на качестве покрытия, иногда по краям появляется шелушение и при активном выделении водорода – питтинг или полосы.

На анодных кривых в тартратных электролитах наблюдается один пик окисления в области потенциалов 0,1–0,5 В. При увеличении температуры в электролите с низким содержанием никеля 0,25 моль/дм³ на анодной кривой наблюдается небольшой пик окисления в области потенциалов ~0,1 В, что вероятно связано с образовани-

ем NiO , при этом анодная поляризация уменьшается на 0,5 В при увеличении температуры на 40 °C (с 30 до 70 °C) при плотности тока 0,05 А/см². При температуре 60–70 °C пик окисления отсутствует. В более концентрированных составах пик окисления лежит в области 0,08–0,15 В и до плотности тока 0,05 А/см².

Влияние концентрации тартрат-иона и никеля на анодные поляризационные кривые на никелевом электроде при температуре 20 °C представлено на рисунке 1, а.

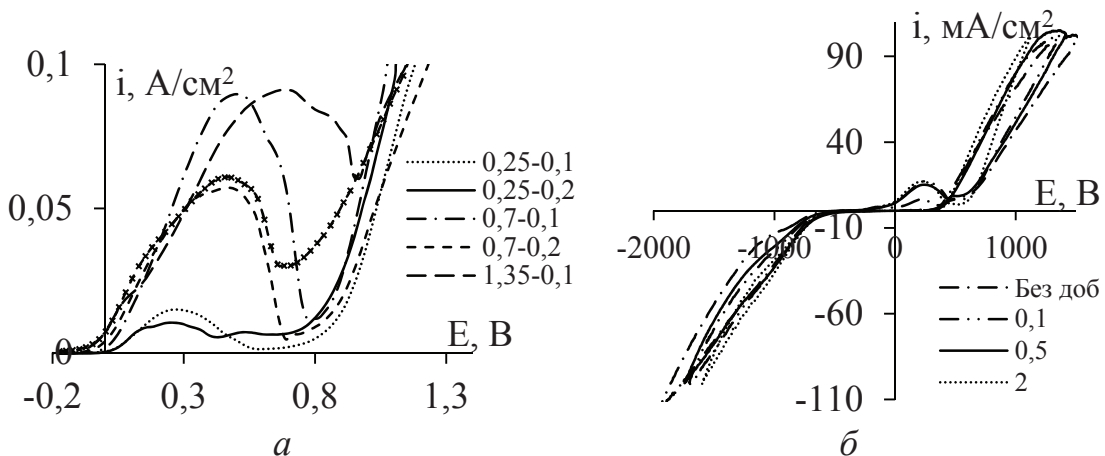


Рисунок 1 – а – Влияние концентрации никеля (0,25; 0,7; 1,35 моль/дм³) и тартрат-иона (0,1; 0,2 моль/дм³) на анодные поляризационные кривые на никелевом электроде при температуре 20 °C; б – Циклические вольтамперные кривые из электролита с концентрацией Ni^{2+} 0,25 моль/дм³, тартрат-иона 0,1 моль/дм³ и УДА (0–2 г/дм³) на никеле при скорости развертки 5 мВ/с

Увеличение концентрации тартрат-иона (рисунок 1, а) уменьшает пик окисления на 0,005 А/см² при концентрации никеля 0,25 моль/дм³ и на 0,03 А/см² при концентрациях никеля 0,7 и 1,35 моль/дм³, что способствует увеличению анодного выхода по току (таблица 3.16). Влияние УДА на поляризационные кривые никеля представлено на рисунке 1, б.

Пик окисления находится в области потенциалов 0,3 В, что совпадает с данными полученными в отсутствие УДА при аналогичных концентрациях всех компонентов.

Катодные поляризационные кривые в присутствии УДА в тартратных электролитах сдвигаются в электроотрицательную область на 0,2–0,3 В.

По поляризационным кривым, построенным в полулогарифмических координатах, рассчитаны основные кинетические параметры разряда и ионизации никеля (таблица 1).

Таблица 1 – Кинетические параметры никеля

| tart | Ni^{2+} 1 моль/дм ³ | | | | | | |
|------|---|---------------------|-------|--------------------|-------|----------------------------|------------|
| | | катодный участок, В | | анодный участок, В | | $i_o, \text{A}/\text{м}^2$ | α_k |
| | T°C | a | b | a | b | | |
| 0,1 | 20 | -0,394 | 0,168 | -0,203 | 0,110 | $4,5 \cdot 10^{-3}$ | 0,17 |
| | 50 | -0,306 | 0,147 | -0,276 | 0,126 | $8,3 \cdot 10^{-3}$ | 0,22 |
| 0,2 | 20 | -0,430 | 0,144 | -0,179 | 0,112 | $1,1 \cdot 10^{-3}$ | 0,20 |
| | 50 | -0,280 | 0,154 | -0,217 | 0,106 | $1,5 \cdot 10^{-2}$ | 0,21 |
| | суда, г/л | a | b | a | b | $i_o, \text{A}/\text{м}^2$ | α_k |
| 0,2 | 0,01 | -1,198 | 0,212 | -0,201 | 0,333 | $2,4 \cdot 10^{-3}$ | 0,09 |
| 0,2 | 0,5 | -1,660 | 0,520 | -0,273 | 0,456 | $2,2 \cdot 10^{-3}$ | 0,06 |
| 0,2 | 2 | -0,721 | 0,798 | -0,324 | 0,226 | $2,3 \cdot 10^{-3}$ | 0,13 |

Коэффициент a изменяется незначительно от 0,34 до 0,62. Коэффициент b реакции восстановления никеля в уравнении Тафеля находится в интервале от -0,12 до 0,33 В, что свидетельствует о замедленности стадии переноса электрона. При введении УДА увеличивается значение коэффициента b , что свидетельствует о смене лимитирующей стадии.

Установлено, что на кинетику разряда и ионизации никеля значительное влияние оказывают соотношения концентраций основных компонентов, ультрадисперсные алмазы оказывают влияние на процесс восстановления никеля.

ЛИТЕРАТУРА

- Буркат Г.К., Горницкий И.В., Долматов В.Ю. Электроосаждение никеля в присутствии наноуглеродных добавок / Известия Санкт-Петербургского Государственного Технологического Института (Технического Университета). – 2011. – 37, №11. – С. 97–99
- Lekka, M. Corrosion and wear resistant electrodeposited composite coatings / M. Lekka, N. Kouloumbi, M. Gajo, P.L. Bonora / Electrochimica Acta. – 2005. – Vol. 50. – P. 4551–4556
- Lee, Hong-Kee Codeposition of micro- and nano-sized SiC particles in the nickel matrix composite coatings obtained by electroplating / Hong-Kee Lee, Ho-Young Lee, Jun-Mi Jeon / Surface & Coatings Technology. – 2007. – Vol. 201. – P. 4711–4717
- Спиридовон, Б.А. Электроосаждение никелевых покрытий из сернокислых электролитов с окси- и дикарбоновыми кислотами / Б.А. Спиридовон, Ю.В. Соколов // Гальванотехника и обработка поверхности, 2007, Т. 15, № 1. – С. 23–27